

沿道建築物による背後の騒音低減効果について

建設者土木研究所 正会員 足立 義雄

野中 宏

荒木 隆雄

1. まえがき

沿道の環境整備の一環として、騒音の影響を受けにくい構造や用途の建築物を道路沿道に誘導したり、公園を立地することによって、その背後の住宅地を自動車交通騒音から守り、道路と沿道土地利用との調和を図ろうとする試みが検討されている。沿道にこのような比較的大きな遮音性の建築物を配置することは、その背後地への騒音の影響を低減する効果が期待されるからである。そこで、ここでは、この沿道建築物による背後地での騒音の騒音低減効果を得ることができのかを把握するために、簡略計算モデルを作成し、いくつかの配置を考えて背後の騒音分布を求め、また実際、国道沿道に建つ比較的大きな建築物を対象に、その背後地および周辺で騒音測定を行ってそれによる遮蔽効果をめぐらで報告するものである。この結果より、騒音対策として、このような遮蔽建築物の設置が有効な手段となることが確認された。

2. 沿道建築物の背後における騒音簡略計算モデル

騒音伝搬による建築物の影響を求めるときには次に述べる2つの考え方がある。ひとつは都市内では建築物群より高い位置にある高架道路からの音の伝搬を考える場合のように、建築物個々の形状や配置を考慮してその影響を加えていくよりも、それが音の伝搬に対して平面的または影響度を与えるものとして、マクロくその伝搬性状を考えるやり方である。これに対して、平面道路沿道に建てられる遮蔽建築物による遮蔽効果や、沿道建築物の配置形状が個々の建築物周辺の騒音分布に与える影響を求める場合には、個々の建築物の形状、配置などを具体的に考慮して計算を行つ必要がある。その場合、道路端から数列の建築物の配置を対象として騒音分布を求めると場合は、計算はかなり手数を要するものとなるが、騒音対策として沿道に建てられる1個または1列の建築物の背後における騒音分布を求めるときは、以下に述べるような比較的簡単な計算モデルを考えることができる。音の伝搬経路として、直達経路、ビルを迂回する経路およびビルとビルの間際を通過する経路を考え、それぞれ以下に述べる計算方法を用ひることにする。

1). 直達音

直達音については、現在最も一般的に用いられている日本音響学会の実用的予測方法を適用する。

$$L_d = L_w - 8 - 20 \log_{10} l + 10 \log_{10} \left(\pi \frac{l}{d} \tanh 2\pi \frac{b}{d} \right) + \alpha_i \quad (1)$$

ただし、 L_w : 平均パワーレベル [dB(A)]、 l : 音源から受音点までの垂直距離(m)、 d : 平均車頭间隔(m)、 α_i : 補正値、 α_i 補正値 α_i については、その受音位置に支配的である音の経路の平均伝搬高さで考えることが妥当であると考えられる。

2). ビルを迂回して受音点に到達する音

ビルを迂回して受音点に到達する音については、有限障壁の回折に関する簡略計算法¹⁾をあてはめることにする。ただし、この場合には、音源を受音点からみて2度づつ区切って、それぞれの要素からの音について計算を行つ。二回回折による減衰については、U.J.Kurzeの簡略式²⁾を適用する。すなわち、図-1において、まず領域(A)の経路SO₁O₂Pによる減衰量 α_{dl} は次式により求めらる。

$$\alpha_{dl} = \alpha_{dl,1} + \alpha_{dl,2} + 10 \log_{10} \left(l' / l \right) - 5 \quad (2)$$

ここで、 α_{d11} : $\Delta S_{O_1 P}$ より求まる減衰量 [dB(A)]、 α_{d12} : $\Delta S_{O_2 P}$ より求まる減衰量 [dB(A)]、 l'_1 : $S_1 O_1 P$ [伝搬経路 (m)]、 l : $S P$ [直達距離 (m)]。

同様に、複数 [B] の経路 $S O_1 O_2 P$ より減衰量 α_{d2} は。

$$\alpha'_{d2} = \alpha_{d21} + \alpha_{d22} + 10 \log_{10} \frac{l'_2}{l} - 5 \quad \dots \dots \dots (3)$$

$$\alpha_{d1} = \alpha'_{d11} + \alpha'_{d12} + 10 \log_{10} \frac{l'_1}{l} - 5 \quad \dots \dots \dots (4)$$

ここで、 α'_{d11} : $\Delta S_{Q_1 P}$ より求まる減衰量 [dB(A)]、 α'_{d12} : $\Delta S_{Q_2 P}$ より求まる減衰量 [dB(A)]、 α'_{d21} : $\Delta S_{R_1 P}$ より求まる行路差 δ_{11} の符号を変えて時の減衰量 $-\delta_{11}$ [dB(A)]、 α'_{d22} : $\Delta S_{R_2 P}$ より求まる行路差 δ_{12} の符号を変えて時の減衰量 $-\delta_{12}$ [dB(A)]、とすると次式で求められる。

$$\alpha_{d2} = \alpha_{d21} + \alpha'_{d11} \quad \dots \dots \dots (5)$$

複数 [C] の経路 $S R_1 R_2 P$ についても全く同様に減衰量 α_{d3} が求められ、 α_{d1} 、 α_{d2} 、 α_{d3} を次式で合成してビルによる減衰量 α_b が計算される。

$$\alpha_b = 10 \log_{10} \left(10^{-\frac{\alpha_{d1}}{10}} + 10^{-\frac{\alpha_{d2}}{10}} + 10^{-\frac{\alpha_{d3}}{10}} \right) \quad \dots \dots \dots (6)$$

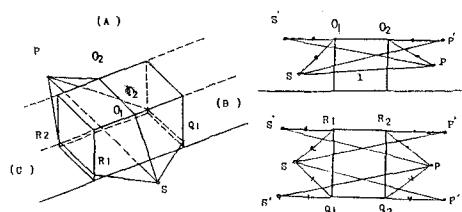


図-1. 有限障壁（ビル）での音の回折

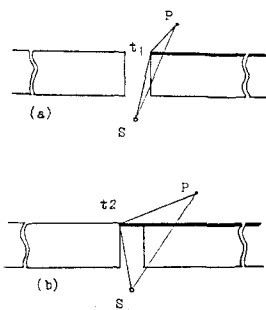


図-2. ビルの間隙を通過する音の簡略計算

3. ビルとビルの間隙を通過する音。

ビルとビルの間隙からの影響を単純化の解釈でさらいが、ここでは簡略化のためこの間隙をひとつスリットであると仮定して、すなわちこの間隙では音が減衰せずしかも受音点間のビルのエッジでのみ回折するとして計算を行うこととする。図-2において、今まで障壁があるところの場合(a)の受音点における音の強さを t_1 まで障壁があるところの場合(b)の音の強さの差分がスリット部から通過してくる音の強さであると仮定する。すなわち、 $\Delta S_{t_1 P}$ やら求まる回折減衰量を α_{s1} 、 $\Delta S_{t_2 P}$ やら求まるそれを α_{s2} とすれば、間隙を通過してくる音の減衰量 α_s は次式で求められることになる。

$$\alpha_s = 10 \log_{10} \left(10^{-\frac{\alpha_{s1}}{10}} - 10^{-\frac{\alpha_{s2}}{10}} \right) \quad \dots \dots \dots (7)$$

このように考えてくるとビルの壁面や地面での反射吸収の影響は考えていないが、ビルとビルとの間隙を通過する音については、エネルギー的にはほぼ吸収がほとんど無効な方法を採用していいので、音圧分布の詳細なパラメータは別として、大略の音圧分布にはさほど大きなずれがないものと考えられる。このビルの間隙部を通過する音に関する簡略計算方法の適合性について検討するため、無響室において実験を行ったのがわかる。音源はホーン型マイクを用いオフセット・バンドノイズで出力して、厚さ7mmのアルミ板を組合せて設定した所定のスリット部を通過してくる音を、マイクロホンを水平に吊り下して測定した。音源およびマイクロホンはどちらもアルミ板から10cm離れた位置となる。得られた実験結果とここで簡略計算手法による計算結果との適合性を音源がスリット部中央に位置している場合について図-3に示す。因みにスリット幅が20cm以上の場合には、実験値と計算値とが適合しているが、スリット幅が10cmより狭い場合には計算値がかなり小さめに算出されている。これは音源がスリット部端部に位置している場合にも同様の結果が得られている。すなわち、この実験結果より、スリット幅が対象音の波長より広い場合には、ここでの簡略計算法が有効であるとのことが考えられる。

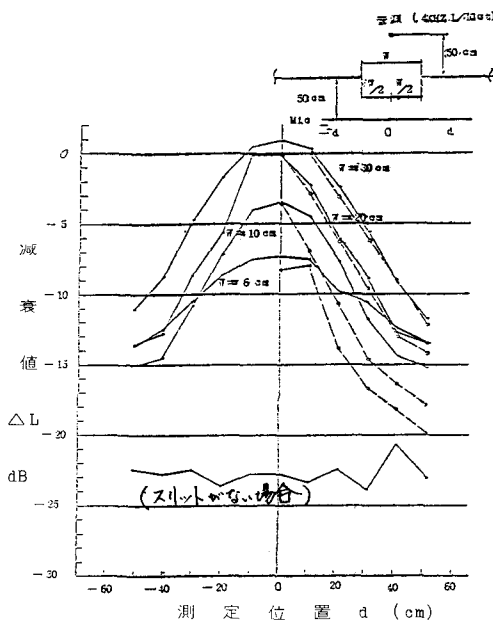


図-3. スリット幅と音の減衰 (音源がスリット中央にある場合) ←: 実験値, ---: 計算値

3. 計算結果

図-4は、上で述べた簡略計算方法により、ビルとビルとの間隔を通る音の減衰がその間隔幅とビルの高さによりどのように変化するのかを求めてみたものである。予想されるように、スリット部に近い受音位置(図のP₁およびP₂)では、そこでの音がほとんどスリット部を通過してくる音に左右されることがから、そこではビルの高さを高くしても全く効果はないことが確認される。逆にビルの裏側でスリット部から遠い受音位置(図のP₃)では、ビルの高さが5m程度と低い場合にはほとんどビルの上方からの回折音が支配され、スリット幅が20m程度まで変化してもほとんどそれによる影響はないことがわかる。次に、2個のビルとその間隔とで30mの長さを考慮、その間隔幅を変化させた場合(対応してビルの長さが変化する)と、その背後の受音位置で騒音レベルがどのように変化するのかを求めたのが図-1(a)である。結果は図-4に示したものと近似するが、ビルの開口部付近の受音位置(図のP₁, P₂およびP₃)において、ビルの間隔が変化しても、すなわち長さの短いビルが連立する場合でもなおdB(A)の減衰効果が得られていくことがわかる。

次に、標準的な道路条件として幅員20mの平車線の道路を考え、その路側と高さ7m、奥行12mの複数建築物が複数の間隔を有して並んでいる場合を想定して、その背後ににおける騒音レベル分布をやはり2.下述べた簡略計算方法を用いて計算してみた。交通条件については代表的で、時間走避量1200台/日、平均速度50km/h、大型車混入率30%と設定した。計算結果を図-1(a)～図-1(d)に示す。図-1(a)は、ビルが空の場合であり、(1)式で示されるが日本音響学会の予測式とそのまま算出されるものである。(b)は、ビルが切れ目なく無限の長さで建っている場合であり、ビルの上方からの回折音のみで計算されるものである。すなわち、ビルが切れ目なく建っている場合ではその効果が非常に大きく、ビルのすぐ裏側では約20dB(A)の減衰効果が得られていく。(c)および(d)は、より

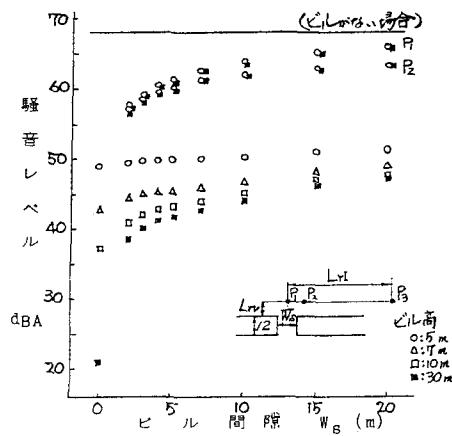


図-4. スリット部を通る音の簡略計算例(1)

$$\begin{aligned} P &: Lr1 = 0m, Lrv = 8m \\ P &: Lr1 = (WS/2+2), Lrv = 8m \\ P &: Lr1 = 80m, Lrv = 8m \end{aligned}$$

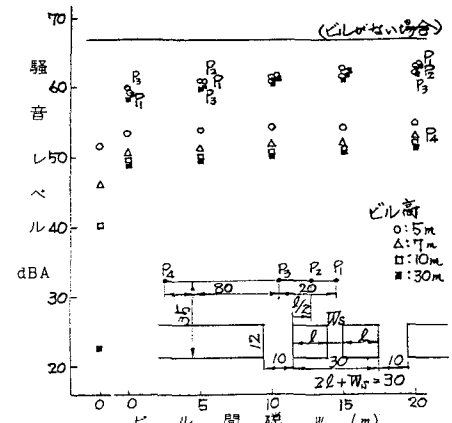


図-5. スリット部を通る音の簡略計算例(2)

一般的な形態としてビルか或は周囲を有して建立してある場合である。この場合には特に周囲部周辺でビルによる減音効果が低下する。最も効果の大きいビルの中央部のすぐ裏側での減音効果は10~15dB(A)となる。距離がさらに10mでの差異はほどなく全域一様に約2.5dB(A)である。またいずれの場合にビルから20m離れれば、受音位置によると道路から一定距離で延長方向位置の違いによる障害の影響度にはほとんど差異がなくなり、道路からの距離でレベルが支配される。

次に、実際の道路沿道に建つビルを対象にその周囲での騒音測定を行ってその減音効果を求めてみた。道路は測定時交通量が2,800~4,500台/日で、上り線と下り線とが大きく分離されている場所である。対象ビルの裏側にある空地と、その近傍で道路に面して建物の多い開放地で同時に騒音測定を行い、両者のレベル差異から対象ビルによる減音効果を求めて、また測定した交通条件と環境条件について、2.で述べた簡略計算方法により対象ビルの裏側におけるレベルを算出してみた。その結果の一例を図-6に示す。対象ビルの裏側は、その隣にある周囲部からの音ほど支配されていると思われるが、図に示される程度の近似を得ることができた。

参考文献 1) 日本音響材料協会編：騒音対策ハンドブック、2) U.J.Kurze : Noise Reduction by Barriers ; Journal of Acoustical Society of America 55, 3.

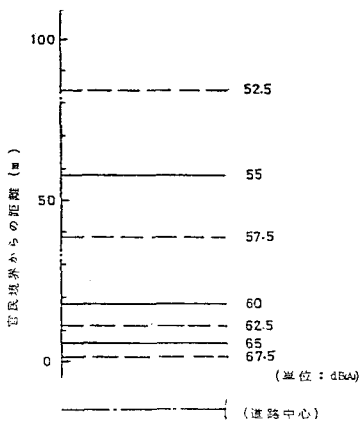


図-6. バッファビル背後騒音分布簡略計算
ビルがない場合。(地上 1-2 階)
時間交通量 1,200 台/時 大型車混入率 30%
走行速度 60km/h

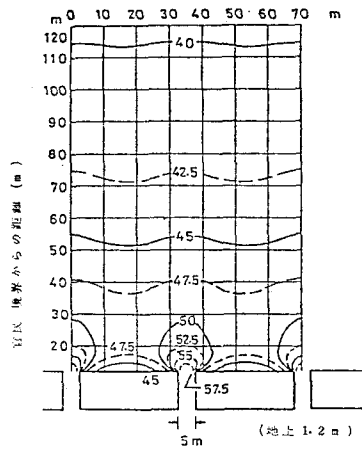


図-8. バッファビル背後騒音分布簡略計算
長さ30mのビルが間隔5mで連立している場合

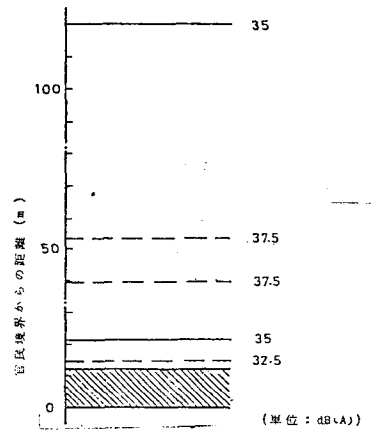


図-7. バッファビル背後騒音分布簡略計算
ビルの長さが無限大の場合 (地上 1-2 階)

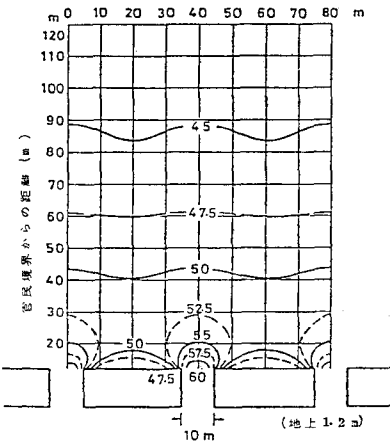


図-9. バッファビル背後騒音分布簡略計算
長さ30mのビルが間隔10mで連立している場合

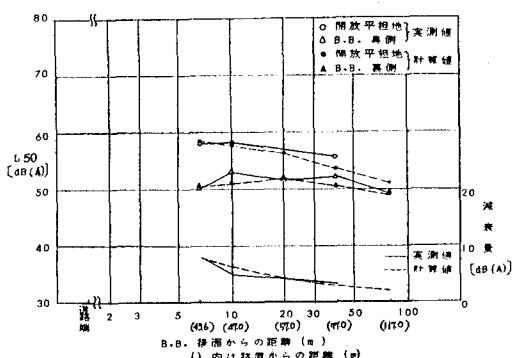


図-10. バッファビル背後の騒音レベル実測結果